

国鉄 鉄道技術研究所 正員 歩守昌幸
正員 ○ 板垣吉彦

1. まえがき

静的軌道狂いについて正規分布とみなしてよいとされているが、多數の動的軌道狂いの分布形状、軌道狂いのパワースペクトル密度について検討した結果をまとめたものである。

今回使用したデータはマヤ・チャート上の軌道狂いを1mm(地上1m)あきに読みとり500測定を1サンプルとしたものである。

2. 軌道狂いの正規性の検定

正規性の検定は次の方法によった。

(1) χ^2 検定による方法

(2) ひずみととがりによる方法

ひずみを表すものとして β_1 、とがりを表すものとして β_2 、 w_m を用いるとき次のようになる。

$$\begin{aligned}\beta_1 &= \mu_3 / \sigma_3 & \mu_3 &= \frac{1}{N} \sum_{i=1}^N (\chi_i - \bar{\chi})^3 f_i \\ \beta_2 &= \mu_4 / \sigma_4 & w_m &= \sum_{i=1}^N |\chi_i - \bar{\chi}| / \sqrt{\sum_{i=1}^N (\chi_i - \bar{\chi})^2}\end{aligned}$$

検定は先ず(1)によつて行つたが、これによつて否定され得るものの中には不適当な階級境界値、階級中によつて χ^2 の値を大きくしたものもあるのでさうに由つて検定を行つた。(2)(3)の方法による結果を高価・通り・標準狂いにつけ表示すると表-1となる。この検定の結果では高価・通り狂いについては約り〇%、平面性・軌間・標準狂いについては約50%のものが正規分布として否定できないことになる。これら軌道狂いの分布形の特徴としては全体として flatなものより Peaked よりなもののが多く、20%~40% が非対称分布となつてゐる。正規分布に近い分布形は β_1 と β_2 によつて表示できるが正規分布と比較すると図-1となり、正規分布にくらべ中央と裾野が高い頻度をしめす。

$\beta_1 - w_m$ による分類 () 全体を100

Peak skewness	Peaked			Good			flat		
	1	2	3	1	2	3	1	2	3
Good	3 (1)			N(m, σ)					
	14 (8)			121 (71)					
Skew	6 (13)	13	3	4	7	3			
	22 (13)			14 (8)					
	1 N0101~149	2 N0201~296	3 N0301~328						

通り

Peak skewness	Peaked			Good			flat		
	1	2	3	1	2	3	1	2	3
Good	1	4	3	N(m, σ)			6		
	8 (5)			127 (74)			6 (4)		
Skew	6	6	1	1	12	4			
	13 (8)			17 (10)					

標準

Peak skewness	Peaked			Good			flat		
	1	2	3	1	2	3	1	2	3
Good	3	7	1	N(m, σ)			5		
	11 (6)			85 (50)			6 (4)		
Skew	12	18	9	10	16	3	1		
	39 (23)			29 (17)			1 (0)		

表-1

軌道狂いの分布形状

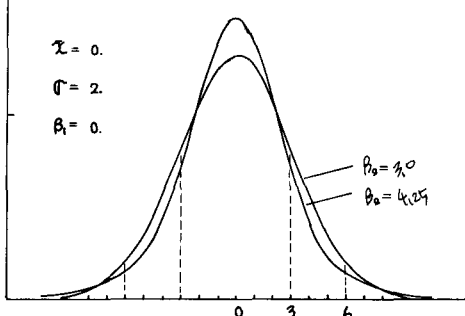


図-1

3. 軌道狂いのパワースペクトル密度

軌道狂いを時系列データとみなして不規則振動の問題として解析したものである。こうしたときに自己相関係数の確定値は(1)式で求められる。

$$R_x(j \cdot \Delta x) = \frac{1}{N-j} \sum_{n=1}^{N-j} (\chi_n - \bar{\chi}) \cdot (\chi_{n+j} - \bar{\chi}) \quad j = 0, 1, \dots, m \quad (1)$$

またパワースペクトル密度の推定値は(2)式で求められる。

$$S_x(\omega) = S_x\left(\frac{k}{m \cdot 2\pi}\right) = h(R_x(0) + 2 \sum_{k=1}^{m-1} R_x(k) \cos\left(\frac{\pi k \cdot K}{m}\right) + (-1)^k R_x(m)) \quad K = 0, 1, \dots, m \quad (2)$$

軌道狂いのうち高価・通り狂いについては測定方法自体にフィルター効果があるため(2)式で計算されたパワースペクトル密度とさらに補正する必要がある。補正した結果の一例を図-2に示した。この図では $\omega = 0.2, 0.4$ に∞卓を生じているがこれはフィルター補正によって出現したものである。レール剛性等から考えても実際上存在するものではない。したがってこの解析方法ではフィルターの周波数特性から考えて短波長については $\lambda = 6 \sim 7 \text{ m}$ 、長波長については検出能力が逐次減少し逆に誤差が増大していくことから $\lambda = 30 \sim 40 \text{ m}$ 程度が限界である。

図-3は高価狂いについて各サンプルの平均をとったものでほぼ似た傾向を示す。 $S_x(\omega) = A \cdot \omega^{\eta}$ とすれば、 $\omega < 0.12$ では $\eta = -0.8$ 、 $\omega > 0.12$ では $\eta = -5.8 \sim -6.8$ 程度となって波長入 $\lambda = 8 \text{ m}$ 以下になると急速に減少する傾向にある。

$\lambda = 12.5 \text{ m}$ 付近にピークが認められるがレール両端の締目落ちの影響と考えられる。

通り狂いについては平均的にとくに目立つビークは認められず $\eta = -2.3$ 程度である。

4. まとめ

(1) 軌道狂いについては正規分布と認められるものが多い。

(2) 軌道狂いのパワースペクトル密度は $S_x(\omega) = A \cdot \omega^{\eta}$ で表示でき高価狂いについて、 $\omega > 0.12$ では $\eta = -6$

$\omega < 0.12$ では $\eta = -0.8$ 程度となって波長の増大と共に漸次増加するものと思われる。通り狂いについては $\eta = -2.3$ 程度である。

参考文献

山野木次郎 鉄道軌道の変位の研究 鉄研報告 635-5

佐藤 吉彦 乗心地の立場から見た軌道高価狂いの整備

限度

鉄研報告 641-8

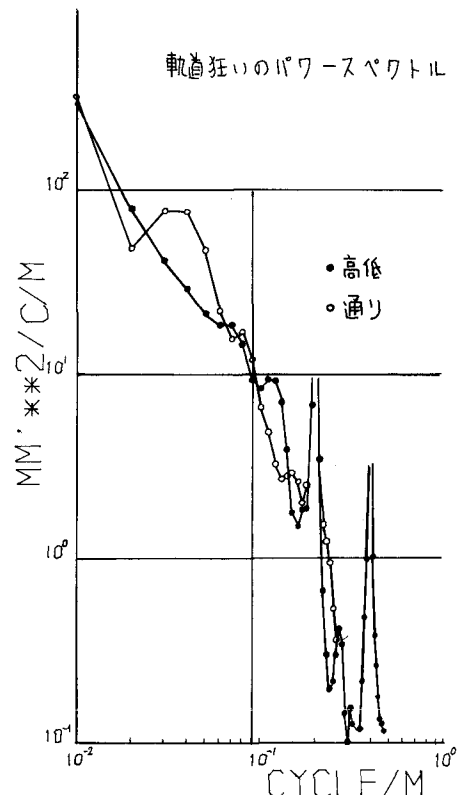


図-2

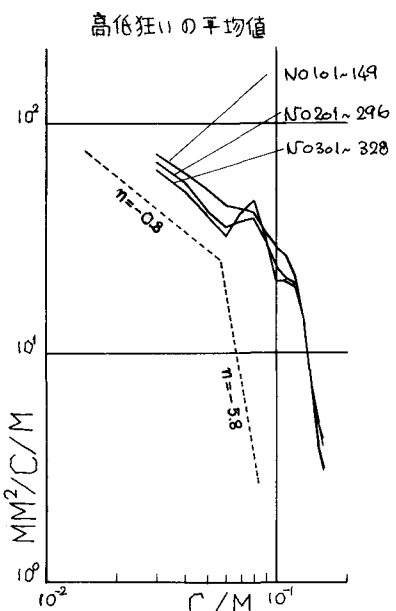


図-3